



ارایه یک سیستم کمک تصمیم‌یار بالینی جهت تشخیص سرطان پستان

مصطفی برومندزاده^۱، الهام پروین‌نیا^{*}

۱- گروه مهندسی کامپیوتر- واحد شیراز- دانشگاه آزاد اسلامی- شیراز- ایران.

تاریخ دریافت: ۱۳۹۹/۰۷/۱۴، تاریخ پذیرش: ۱۳۹۹/۰۹/۱۷

چکیده

مقدمه: سرطان پستان از مهمترین عوامل مرگ و میر زنان است. بنابراین دقت و سرعت تشخیص بیماری در تعیین روال درمان، بسیار حیاتی است؛ در این راستا برای یکسان‌سازی گزارش‌های ماموگرافی از سیستم طبقه‌بندی BI-RADS استفاده شده است. با این وجود تفاوت نظر پزشکان در مورد مقادیر BI-RADS زیاد است. هدف این مقاله تشخیص BI-RADS با پردازش زبان طبیعی گزارش‌های ماموگرافی و اطلاعات کلینیکی حاصل از سوابق پرونده الکترونیک بیمار و ترکیب آن‌ها برای تعیین زیرگروه‌های مولکولی و کمک به روند تشخیصی بیماری و پیگیری درمان می‌باشد.

مواد و روش‌ها: در این مطالعه از ۲۰۰ گزارش ماموگرافی و اطلاعات سوابق پرونده الکترونیک مرکز آموزشی درمانی نمازی بین سال‌های ۱۳۹۶-۱۳۹۴ استفاده شد. با پردازش گزارش‌ها، ۱۶۰ ویژگی متناسب با آنها ایجاد و با مراجعة به سوابق پرونده الکترونیک افراد، ۱۸ ویژگی استخراج شد. از مجموعه بردارها با ۱۷۸ ویژگی، مقادیر BI-RADS با استفاده از ماشین بردار پشتیبان (SVM) و زیرگروه‌های مولکولی توسط بیزین‌ساده پیش‌بینی گردید و مورد ارزیابی قرار گرفت.

نتایج: برای ارزیابی نتایج، مقادیر دقت، ارزش اخباری مثبت، ارزش اخباری منفی، حساسیت و خاصیت، برای تشخیص BI-RADS و زیرگروه‌های مولکولی محاسبه شدند. میزان دقت برای تشخیص BI-RADS $0.85/42$ ٪ و برای تشخیص زیرگروه‌های مولکولی $0.72/31$ ٪ به دست آمد.

نتیجه‌گیری: سیستم تصمیم‌یار ارایه شده، مدلی مناسب برای کمک به پزشک جهت تشخیص سرطان پستان و دسته‌بندی بیماران بود. همچنین مشخص گردید که ترکیب اطلاعات، شامل سوابق پرونده الکترونیک بیماران و زیرگروه‌های مولکولی تعیین شده در کنار گزارش‌های ماموگرافی می‌تواند در تشخیص بیماری و تعیین بهینه روال درمان مفید باشد.

واژه‌های کلیدی: کمک تصمیم‌یار، زیرگروه‌های مولکولی، اطلاعات بالینی، سرطان پستان.

*نویسنده مسئول: شیراز، شهر صدرا، پردیس دانشگاه آزاد اسلامی واحد شیراز، دانشکده مهندسی ۱، گروه کامپیوتر، تلفن: ۰۷۱۳۶۴۱۰۰۴۱، نمبر: ۰۷۱۳۶۴۱۰۰۵۹
Email: parvinnia@iaushiraz.ac.ir

ارجاع: برومندزاده مصطفی، پروین‌نیا الهام. ارایه یک سیستم کمک تصمیم‌یار بالینی جهت تشخیص سرطان پستان. مجله دانش و تدرستی در علوم پایه پزشکی ۱۳۹۹، ۱۵(۳):۵۴-۶۶

مقدمه

سرطان یکی از عوامل اصلی بروز مرگ و میر در جهان امروز است. سرطان بعد از بیماری‌های قلبی عروقی دومین عامل شایع مرگ و میر در کشورهای توسعه‌یافته و سومین عامل مرگ در کشورهای کمتر توسعه‌یافته است و به تنهایی بیش از بیماری‌های سل، ایدز و مalaria افراد را به کام مرگ می‌کشاند (۱). به طوری که اگر اقدامات پیشگیرانه انجام نشود در ۱۰ سال آینده شاهد مرگ و میر بیش از ۸۵ میلیون نفر در جهان خواهیم بود (۲). در حال حاضر سرطان عامل ۱۲٪ مرگ و میرها در سراسر جهان است (۳). در ایران سرطان سومین عامل مرگ و میر است و سالانه بیش از ۳۰۰۰۰ نفر از مردم در اثر سرطان جان خود را از دست می‌دهند. یکی از موارد شایع سرطان در زنان سرطان پستان است. براساس آمارهای ارایه شده، ۱۹/۹٪ مرگ و میر ناشی از بیماری سرطان در زنان، مربوط به سرطان پستان است (۴). طبق آمارهای منتشر شده توسط سازمان جهانی بهداشت، از هر ۸ تا ۱۰ زن، یک نفر به سرطان پستان مبتلا می‌شود. این آمار برای کشور ایران، احتمال ابتلای یک نفر به ازای هر ۱۰ تا ۱۵ زن را نشان می‌دهد (۵). اما نکته مهم در بحث تشخیص سرطان پستان تفاوت میانگین سن تشخیص در کشورهای غربی و ایران است به طوری که میانگین سن تشخیص در کشورهای غربی ۵۶ و در ایران ۴۵ سال است (۶). از طرفی تشخیص زودهنگام در مراحل اولیه، از عوامل مهم و اساسی در درمان این بیماری است زیرا هنگامی که سرطان پستان زود تشخیص داده شود احتمال درمان و زنده ماندن بسیار زیاد است (۷-۹). بنابراین سیستم‌های پشتیبان تصمیم پزشکی (CDSS: clinical decision support system)، که نتیجه همکاری متقابل پزشکان و مهندسین هستند و در واقع برای کمک و پشتیبانی کارکنان مراقبت‌های بهداشتی در تصمیم‌گیری‌های بالینی ساخته می‌شوند، در این زمینه نقش مهمی را ایفا می‌نمایند (۱۰-۱۲). امروزه استفاده از CDSS در مراقبت از سرطان پستان در مراکز مراقبت‌های بهداشتی به شدت در حال افزایش است (۱۱). نتایج تحقیقات حاکی از آن است که به‌واسطه سیستم‌های تصمیم‌یار ایجاد شده و با کمک تجسم داده‌های بیمار، پزشکان اجازه یافته‌اند تا به سرعت به اطلاعات لازم جهت تعیین درمان مناسب دسترسی پیدا کنند (۱۳). یکی از مواردی که می‌تواند به عنوان ورودی در یک سیستم CDSS برای کمک به تشخیص و درمان سرطان سینه به کار گرفته شود، گزارشات مربوط به ماموگرافی است (۱۴). رادیولوژیست‌ها بر اساس فاکتورهای مشاهده شده در ماموگرافی و بر اساس تشخیص، از یک سیستم طبقه‌بندی به نام BI-RADS (Breast Imaging-Reporting and Data System) (ایجادشده توسط کالج رادیولوژی آمریکا) برای توصیف نتایج ماموگرافی در گزارش‌های پزشکی استفاده می‌کنند (۱۵). طبقه‌بندی

در ماموگرافی، یک روش مهم و قابل اعتماد برای ارزیابی و تخمین ریسک بدخیمی در ضایعات پستانی به شمار می‌آید (۱۶). BI-RADS RADS در واقع یک برچسب است که در گزارشات ماموگرافی، در ۷ سطح، بین ۰ تا ۶ تعریف می‌گردد و هر یک از این اعداد دارای تفسیری مشخص هستند (۱۷). از طرفی با توجه به مطالعات اولیه انجام شده در این حوزه مشخص گردید که تا به حال هیچ‌گونه سیستم تصمیم‌یار بالینی برای تشخیص سرطان پستان و طبقه‌بندی بیماران بر اساس ترکیب اطلاعات گزارش‌های ماموگرافی، سوابق پرونده الکترونیک بیمار (در اینجا HIS: Hospital information system) و زیرگروه‌های مولکولی ارایه نشده است اما مقالات متعددی در این حوزه با رویکرد مهندسی نوشته شده است (۱۸-۲۴) که در ادامه به برخی مقالات این حوزه با رویکرد طراحی مدل پرداخته می‌شود.

گانو و همکاران در سال ۲۰۱۵ (۱۹) از Natural language processing (NLP) برای استخراج اطلاعات متون بدون ساختار ماموگرافی استفاده کردند روش آنها محدود به تشخیص چهار نوع عارضه پستان بود و صرفاً از گزارش‌های پزشکی استفاده شد. اسماعیلی و همکاران در سال ۲۰۲۰ سیستم تصمیم پشتیبان تصمیم جهت کمک به پزشکان در تفسیر گزارش‌های متن ماموگرافی را ضمن ایجاد مدلی با قابلیت پیش‌بینی نیازمندی بیمار به بیوپسی با دقت ۰/۶٪ ارایه کردند (۱۶). ژانگ و همکاران در سال ۲۰۱۹ (۲۴) از یادگیری عمیق برای استخراج اطلاعات بالینی سرطان پستان استفاده کردند. مقدار F1 بالغ بر ۹۳٪، اما پیچیدگی بالا بود. کاسترو و همکاران در سال ۲۰۱۷ (۱۸) روشی از NLP بر پایه rule برای طبقه‌بندی گزارش‌های رادیولوژی ارایه نمودند. مقدار ۹۵٪ بود ولی تنها از یک نوع داده متنی استفاده شد. گوتا و همکاران در سال ۲۰۱۷ (۲۰) روشی مبتنی بر درخت تجزیه و معناشناصی برای تولید اطلاعات ساختی‌یافته از گزارش‌های ماموگرافی ارایه نمودند. مقدار F1 یا میانگین هارمونیک، ۹۴٪ به دست آمد و صرفاً از گزارش‌های پزشکی استفاده شد. سایپو و همکاران در سال ۲۰۱۳ (۲۳) توسط NLP و با BI-RADS Observation Kit (BROK) به ایجاد الگوریتم استخراج خودکار سطوح BI-RADS از گزارش‌های ماموگرافی پرداختند.

پرچا و همکاران در سال ۲۰۱۲ (۲۲) با پردازش گزارش‌ها آنها را به یک کلاس BI-RADS اختصاص دادند؛ دقت ۹۹٪ گزارش شد اما تمرکز صرفاً بر بافت پستان بود. نسیف و همکاران در سال ۲۰۱۲ (۲۱) از متون بالینی ویژگی‌های BI-RADS را استخراج و با گزارش‌نویسی BI-RADS دستی مقایسه کردند؛ دقت ۹۶٪ گزارش شد اما کلاس‌بندی نگردید. بوزورت و همکاران در سال ۲۰۱۶ سیستم پشتیبان تصمیم مبتنی بر NLP جهت تشخیص بدخیمی از

همچنین اطلاعات ۱۲۰۰ بیمار، شامل ۷ طبقه BI-RADS است که در جدول ۲، گزارش تعداد این بیماران در هر طبقه آمده است.

شکل ۱ در پنج فاز مراحل مختلف فرآیند پیشنهادی را نمایش داده است. در فاز اول مجموعه داده به دست می‌آید که شامل گزارش‌های ماموگرافی و اطلاعات HIS هر فرد است. از آنجاکه گزارشات ماموگرافی، متون آزاد مبیاشند بنابراین با استفاده از روش‌های NLP، پردازش و تبدیل به بردار شدن. در فاز دوم با مشاوره پزشک ویژگی‌های مهم در سیستم اطلاعات بیمارستانی انتخاب شدند. در فاز سوم، از آنجایی که در مجموعه داده تنها BI-RADS مشخص شده است لذا در ابتدا باید کلاس زیرگروه‌های مولکولی مشخص شود از این رو تمام داده‌ها با روش بدون نظارت C-میانگین در چهارخوشه مربوطبه جدول ۲، خوشبندی گردید و مقادیر زیرگروه‌های مولکولی به هر خوشه تخصیص داده شد. در فاز چهارم یک مدل آموزش دیده شده برای پیش‌بینی مقادیر BI-RADS با استفاده از SVM و یک مدل آموزش دیده شده برای پیش‌بینی مقادیر زیرگروه‌های مولکولی با استفاده از بیزین ساده ارایه شد و نتایج در فاز پنجم توسط شاخص‌های ارزیابی اعتبارسنجی شد.

مجموعه داده‌های ما شامل دو منبع اصلی است: گزارش‌های ماموگرافی و سوابق پرونده الکترونیک بیماران (زیرمجموعه HIS). این داده‌ها از اطلاعات موجود در مرکز آموزشی درمانی نمازی، مربوط به سال‌های ۱۳۹۴ تا ۱۳۹۶، دریافت شد. این مجموعه داده شامل گزارش‌های ماموگرافی سوابق پرونده الکترونیک ۱۵۰۰ بیمار است. از آنجایی که اطلاعات برخی از بیماران کامل نبود، در نهایت تنها از ۱۲۰۰ استفاده شد.

شکل ۲ بلوك‌های روش پیشنهادی برای طبقه‌بندی گزارش‌های پزشکی و نحوه استخراج یک بردار از یک گزارش ماموگرافی را نشان می‌دهد. لازم به ذکر است که در اینجا تنها فرآیند پردازش متن نشان داده شده است.

در مرحله پیش‌پردازش، محتوای گزارش‌های ماموگرافی توسط کتابخانه NLTK (۲۷) ریشه‌یابی شده و حروف اضافی، علایم نگارشی به استثنای کلمات منفی‌ساز، حذف گردید. برای مثال «توده قابل لمس در پستان و زیر بغل مشاهده نشد» جمله‌ای منفی است و نشان متفاوت می‌باشد. گزارش‌های متون ماموگرافی دارای ۱۶۰ ویژگی در سوابق پرونده الکترونیک دارای ۱۸ ویژگی است. این ۱۸ ویژگی در بخش‌های الف و ب، از جدول ۱ مشاهده می‌گردد. جدول ۱ ب شامل شانزده ۲ متغیر، مربوط به ویژگی‌های عددی و جدول ۱ ب شامل شانزده متغیر، مربوط به ویژگی‌های اسمی است که به انضمام ۱۶۰ ویژگی مربوط به گزارش‌های متن ماموگرافی، مجموعاً ۱۷۸ ویژگی برای هر بیمار استخراج گردید.

گزارش‌های BI-RADS و متن رادیولوژی با دقت ۹۷/۵۸٪ ارایه کردند (۲۵).

این مقاله، به دنبال ایجاد یک سیستم پشتیبان تصمیم مبتنی بر پیش‌بینی مقادیر BI-RADS و زیرگروه‌های مولکولی است. برای این منظور ابتدا گزارشات ماموگرافی با استفاده از NLP، پردازش شده و با استفاده word2vec (۲۶) تبدیل به بردار شد. ۱۸ ویژگی Hospital information system (HIS) از پرونده الکترونیک بیماران استخراج گردید. این متغیرها شامل دو متغیر عددی و شانزده متغیر اسمی می‌باشند، که در کنار بردار مستخراج از گزارش ماموگرافی، قرار گرفتند. همچنین با استفاده از روش بدون نظارت C-میانگین، کلاس زیرگروه‌های مولکولی نمونه‌ها خوشبندی گردید و به داده‌های هر خوشه مقدار زیرگروه مولکولی تخصیص داده شد. برای کلاسه‌بندی و تعیین BI-RADS از ماشین بردار پشتیبان چندکلاسه استفاده شد. در ادامه، از همان بردار ویژگی (متن کاوی و HIS) با کمک بیزین ساده، جهت تعیین زیرگروه‌های مولکولی استفاده شد.

باتوجه به مطالعه تحقیقات گذشته که بیان گردید در تشخیص BI-RADS از تصاویر و متون ماموگرافی استفاده می‌گردد ولی از داده‌های HIS و زیرگروه‌های مولکولی برای تشخیص BI-RADS استفاده نمی‌شود لذا در این پژوهش اطلاعات پرونده سلامت الکترونیک بیماران و زیرگروه‌های مولکولی در کنار اطلاعات تصاویر و گزارش BI-RADS ماموگرافی قرار گرفت تا ایجاد تفاوت معنادار در تشخیص BI-RADS با افزودن این اطلاعات افزوده، مشخص گردد. برای انجام این کار از ترکیب دو الگوریتم بیزین ساده و الگوریتم ماشین بردار پشتیبان استفاده گردید.

مواد و روش‌ها

در این پژوهش یک مدل پیش‌بینی تشخیص BI-RADS ارایه گردید. مجموعه داده‌ها شامل دو منبع گزارش‌های ماموگرافی و سوابق پرونده الکترونیک بیماران (مستخراج از HIS) است. این مجموعه داده، شامل گزارش‌های ماموگرافی و سوابق الکترونیک ۱۲۰۰ بیمار از مرکز آموزشی درمانی نمازی در بازه زمانی سال‌های ۱۳۹۴ تا ۱۳۹۶ می‌باشد. گزارش‌های متون ماموگرافی دارای ۱۶۰ ویژگی و سایر سوابق پرونده الکترونیک دارای ۱۸ ویژگی است. این ۱۸ ویژگی در بخش‌های الف و ب، از جدول ۱ مشاهده می‌گردد. جدول ۱ ب شامل شانزده ۲ متغیر، مربوط به ویژگی‌های عددی و جدول ۱ ب شامل شانزده متغیر، مربوط به ویژگی‌های اسمی است که به انضمام ۱۶۰ ویژگی مربوط به گزارش‌های متن ماموگرافی، مجموعاً ۱۷۸ ویژگی برای هر بیمار استخراج گردید.

پس از ترکیب اصطلاحات کلیدی و اصطلاحات به دست آمده از CLEVER، مجموعاً ۳۵۰ کلید به دست آمد که عمدتاً برای دو هدف استفاده می شوند: (الف) گزارش ها را از طریق نگاشت کاهش می دهد؛ (ب) به تولید بردارهای آگاه از متن کمک می کند. برای ایجاد تعییه برداری کلمات از روش بدون نظرت، با استفاده از مدل Word2vec استفاده شده است (۲۶). برای آموزش Word2vec از Skipgram با طول بردار ۱۶۰ و عرض پنجره ۸، که این مقادیر بر اساس آزمون و خطا به دست آمد، استفاده شد. در هر گزارش از اصطلاحات کلیدی منتخب برای توصیف آن متن استفاده کردیم. سپس میانگین تمام برداری های به دست آمده نشان دهنده بردار آن متن است. هر بردار گزارش بر اساس رابطه ۱ محاسبه شد.

$$V_{MTR} = \frac{1}{N} \sum_{i=1}^N V_{W_i} \quad \text{رابطه ۱}$$

جمله کلمه منفی ساز وجود داشت، متضاد شده و یا بردار آن معکوس شد. به عنوان مثال در جمله بالا، احتمال دارد فرد سلطان پستان نداشته باشد. بنابراین «توده قابل لمس» از آنجایی که در دیکشنری وجود دارد، متضاد می شود و در صورتی که کلمه متضادی برای آن پیدا نشود حاصل بردار Word2vec آن معکوس می شود. به منظور کاهش ابهامات و بهبود دقیقت معنایی گزارشات از هستی شناسی دامنه در بخش پردازش متن استفاده شد. اینکار توسط یک پویشگر واژگانی (۲۸) انجام شد که کار آن تشخیص اصطلاحات به دست آمده ای است که با اصطلاحات از پیش تعریف شده، ریشه مشترک دارند که ما آنها را به اصطلاح های کنترل شده (اصطلاحات کلیدی) نگاشت کردیم. علاوه بر دیکشنری، از اصطلاحات عمومی در دسترس (CLEVER) (۲۸) و مورد استفاده در شناسایی زمینه های بالینی و نگاشت استفاده کردیم.

جدول ۱ الف- ویژگی های کمی مستخرج از HIS

نام متغیر	توضیحات متغیر	افراد بیمار (n=۱۰۹۹)	افراد سالم (n=۱۰۱)	میانگین ± انحراف معیار
سایز	سایز سینه	۲۳/۰.۳±۵/۴۸	۱۷/۵۹±۳/۷۳	
سن	سن مراججه کنندگان / بیماران	۵۴/۳۷±۱۲/۶۵	۴۷/۹±۱۴/۴۴	

جدول ۱ ب- ویژگی های کیفی استخراج شده از HIS

نام متغیر	توضیحات متغیر	افراد بیمار (n=۱۰۹۹)	افراد سالم (n=۱۰۱)	تعداد
-----------	---------------	----------------------	--------------------	-------

ترشح

وجود/ عدم وجود سابقه ترشحات غیرطبیعی از پستان

No=۵۹۴	No=۴۱
Yes=۵۰۵	Yes=۶

جهت

با سه وضعیت: سینه سمت راست یا هر دو جهت

Left=۵۴۳	Left=۵۴
Right=۴۷۹	Right=۲۲
Bilateral=۷۷	Bilateral=۱۵

دخانیات

وجود/ عدم وجود سابقه استعمال سیگار

No=۹۹۱	No=۹۴
Yes=۱۰۸	Yes=۷

درد پستان

وجود/ عدم وجود سابقه درد در ناحیه پستان ها

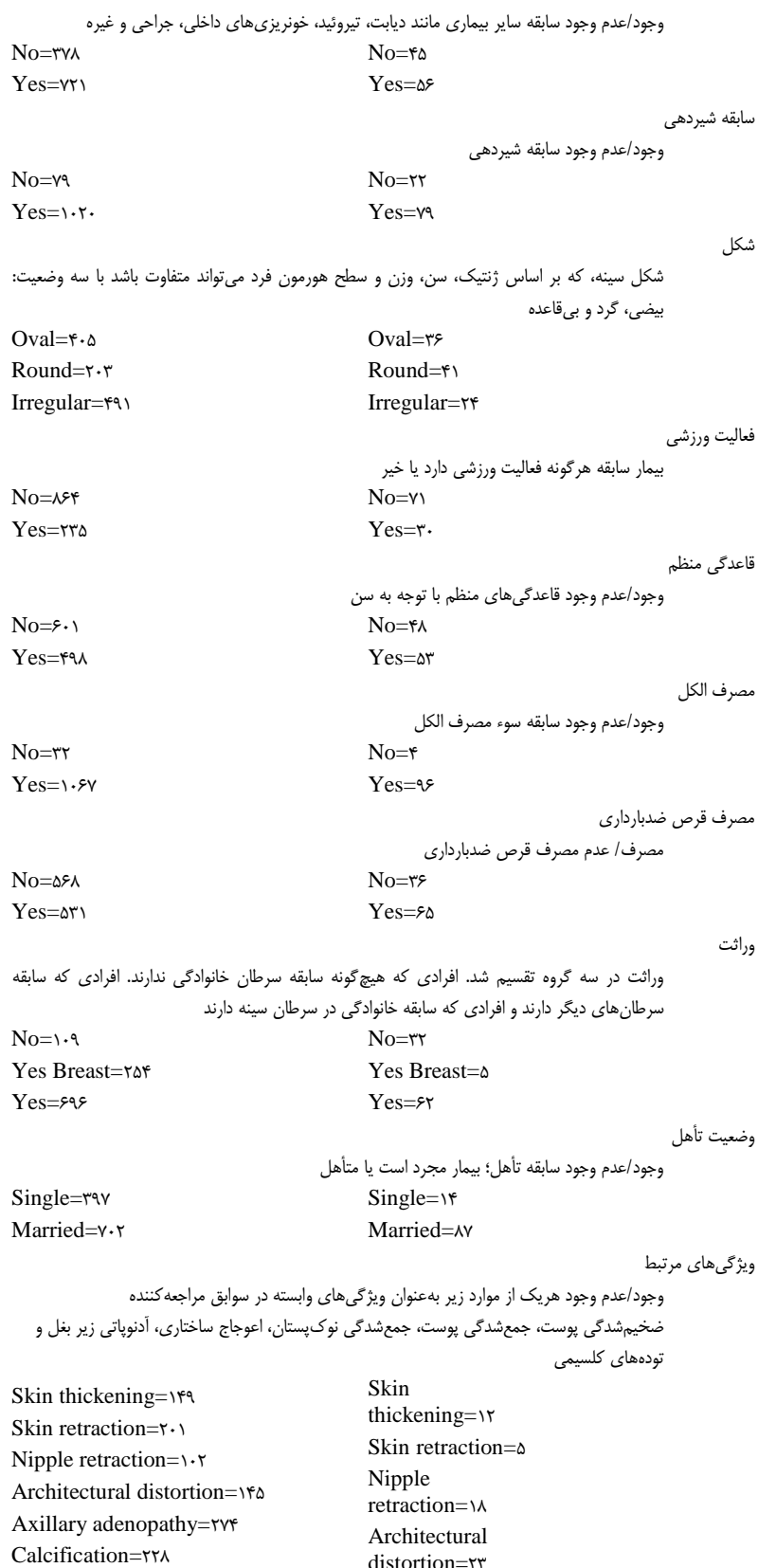
No=۱۹	No=۱۹
Yes=۱۰۱۶	Yes=۸۲

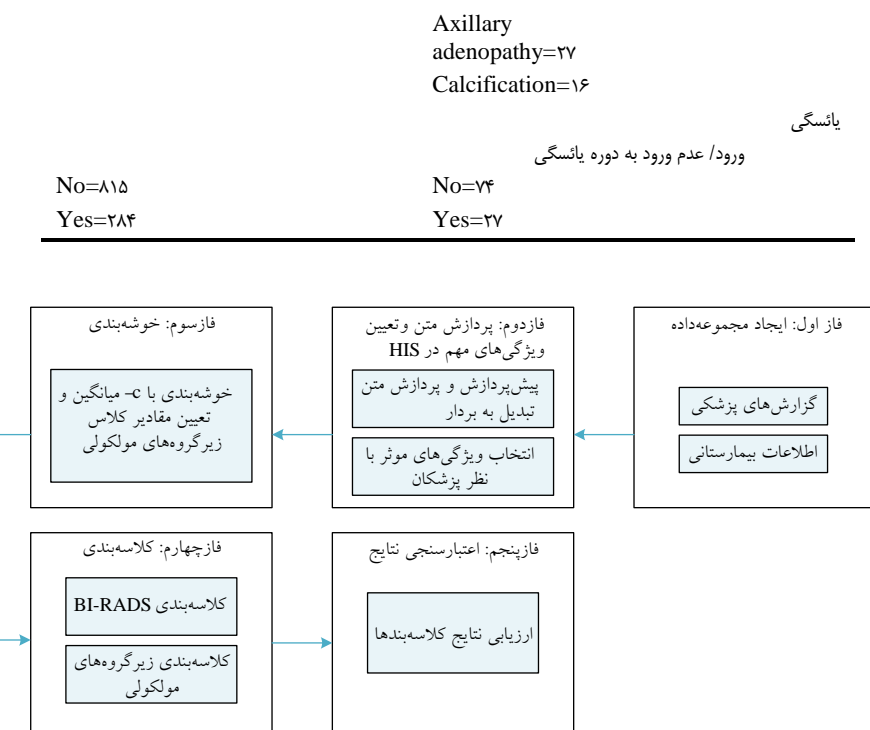
سابقه بارداری

وجود/ عدم وجود سابقه بارداری

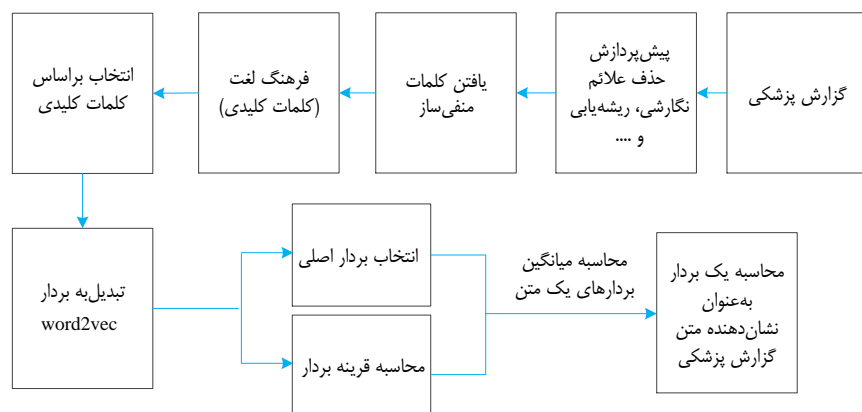
No=۲۰۱	No=۱۶
Yes=۸۹۸	Yes=۸۵

سابقه بیماری





شکل ۱- فازبندی روش پیشنهادی



شکل ۲- تبدیل گزارش به بردار

که در این رابطه، V_{MTR} بردار نشان‌دهنده گزارش، N تعداد کلمات انتخاب شده از گزارش و V_{Wi} بردار هر کلمه به دست آمده از Word2vec است.

در اینجا HIS از PACS و پرونده الکترونیک بیماران در مرکز آموزشی درمانی نمازی بین سال‌های ۱۳۹۴ تا ۱۳۹۶ استخراج شده است. PACS شامل سوابق الکترونیکی برای ذخیره و بازیابی تصاویر پزشکی و اسناد و گزارش‌های مرتبط است. HIS یک سیستم اطلاعاتی یکپارچه برای پوشش تمام جنبه‌های عملکرد بیمارستانی

جدول ۲- تقسیم‌بندی تعداد بیماران بر حسب طبقه BI-RADS

طبقه‌بندی	تعداد بیماران
BI-RADS 0	۱۰۱
BI-RADS 1	۳۷۶
BI-RADS 2	۳۳۳
BI-RADS 3	۴۳
BI-RADS 4	۱۵۱
BI-RADS 5	۸۲
BI-RADS 6	۱۱۴
جمع کل	۱۲۰۰ نفر

چهار زیرگروه مولکولی مختلف تشخیص داده شدند. زیر گروههای مولکولی به همراه ایمونوپوتیپ در جدول ۳ نشان داده شده است. بنابراین ارتباطی منطقی بین تقسیم‌بندی BI-RADS و زیرگروههای مولکولی به دست آورده است. حال با استفاده از یک کلاسه‌بند می‌توانیم بر اساس اطلاعات BI-RADS زیرگروههای مولکولی را به صورت احتمالی تشخیص دهیم.

Support vector machine (SVM) ابرصفحه‌ای با حداقل حاشیه (SVM) بین دو کلاس را می‌یابد که ابرصفحه جداگانه بهینه نامیده می‌شود. در اینجا ازتابع کرنل RBF استفاده شد و پس از استخراج مدل (۳۰)، مقادیر احتمالی برای هر کلاس از BI-RADS به دست آمد. در اینجا از نرمال‌سازی بهروش انحراف معیار (۳۱) استفاده شد. برای تشخیص BI-RADS که دارای هفت کلاس است، از هفت ماشین بردار پشتیبان استفاده گردید. بنابر جدول ۴ به ازای یک نمونه، هفت ماشین بردار پشتیبان تصمیم‌گیری کرده‌اند و با توجه به اینکه در این مثال، ماشین بردار پشتیبان چهارم بیشترین احتمال را نشان می‌دهد، بنابراین نمونه متعلق به کلاس چهارم یا "Probably benign" (۱۵) است.

جدول ۴- مقادیر بردارهای پشتیبان

SVM 1	SVM 2	SVM 3	SVM 4	SVM 5	SVM 6	SVM 7
.۰/۰.۵	.۰/۰.۷	.۰/۰.۳	.۰/۷۹	.۰/۰.۲	.۰/۰.۱	.۰/۰.۳

در این مقاله از بیزین ساده به عنوان کلاسه‌بند برای تشخیص زیرگروههای مولکولی استفاده گردید. از آنجا که طبقه‌بندی بیزین روشی احتمالی برای طبقه‌بندی است، خروجی به دست آمده به صورت احتمال است. برای طبقه‌بندی نمونه جدید، محتمل‌ترین طبقه را با داشتن مقادیر صفات (x_1, x_2, \dots, x_k) که توصیف‌کننده نمونه جدید است، $P(C = c | X = x)$ را شناسایی می‌کند. قضیه بیز به صورت رابطه ۵ می‌باشد.

$$(C = c | X = x) \propto P(C = c) P(X = x | C = c) \quad \text{رابطه ۵}$$

حال با استفاده از داده‌های آموزشی سعی می‌کنیم دو جمله معادله بالا را تخمین بزنیم. محاسبه از روی داده‌های آموزشی به این صورت که میزان تکرار c در داده‌ها چقدر است، آسان می‌باشد. اما محاسبه جملات مختلف $P(X = x | C = c)$ به این صورت قابل قبول نخواهد بود مگر اینکه حجم زیادی از داده‌های آموزشی را در اختیار داشته باشیم. بیزین ساده فرض را بر استقلال متغیرهای پیش‌بینی می‌گذارد و روشی احتمالی برای طبقه‌بندی است که برای طبقه‌بندی نمونه جدید، محتمل‌ترین طبقه را با داشتن مقادیر صفات که توصیف‌کننده نمونه جدید است، شناسایی می‌کند (۳۲).

مانند خدمات مالی، اداری، سلامت بیماران، حقوقی و غیره است. بانک اطلاعاتی از اطلاعات مربوط به سیستم PACS در مراکز آموزشی درمانی استفاده می‌کند.

سرطان پستان، بیماری ناهمگن با چندین زیرگروه مولکولی مجزا براساس وضعیت گیرنده و ایمونوژیمی است، که شامل گیرنده استروژن (ER)، گیرنده پروژسترون (PR)، گیرنده عامل رشد اپیدرمی (EGFR) است. چهار مجموعه اصلی زیرگروه مولکولی وجود دارد: لومن، A، لومن، B، بیانگر فاکتور رشد اپیدرمی انسانی (HER2 over-expression) و سرطان پستان با رده مولکولی (BLBC). هر نوع از زیرگروههای مولکولی میزان عود و بقا را نشان می‌دهد که مهمترین عامل در انتخاب تکنیک‌های مختلف درمانی است (۲۹). در این پژوهش از روشن بدون نظارت C-میانگین نمونه‌ها برای تعیین زیرگروههای مولکولی استفاده شد. بدین صورت که در ابتدا تمام بیماران با استفاده از C-میانگین (و ویژگی‌های حاصل از فاز دوم) در چهارخوشه قرار گرفتند و پس از انعام مراحل خوشبندی، براساس مقادیر مراکز خوش، برای هر خوشه زیرگروههای مولکولی تعیین گردید. در گوئیتم خوشبندی C-میانگین، نمونه‌ها به C (تعداد زیرگروه مولکولی) خوشه تقسیم می‌شوند که تعداد C از قبل مشخص شده است. تابع هدف به صورت رابطه ۲ می‌باشد.

$$J = \arg \min \left(\sum_{i=1}^n \sum_{j=1}^C u_{ij}^m \|x_i - c_j\|^2 \right) \quad \text{رابطه ۲}$$

در این رابطه، m یک عدد حقیقی بزرگ‌تر از ۱ است که در اکثر موارد برای m عدد ۲ انتخاب می‌شود، n تعداد نمونه، C مراکز خوش، x درجه عضویت و c نمونه‌ها می‌باشند. برای کمینه کردن مقدار J ، درجه عضویت و مراکز خوش در هر تکرار به ترتیب با روابط ۳ و ۴ به روز می‌شوند.

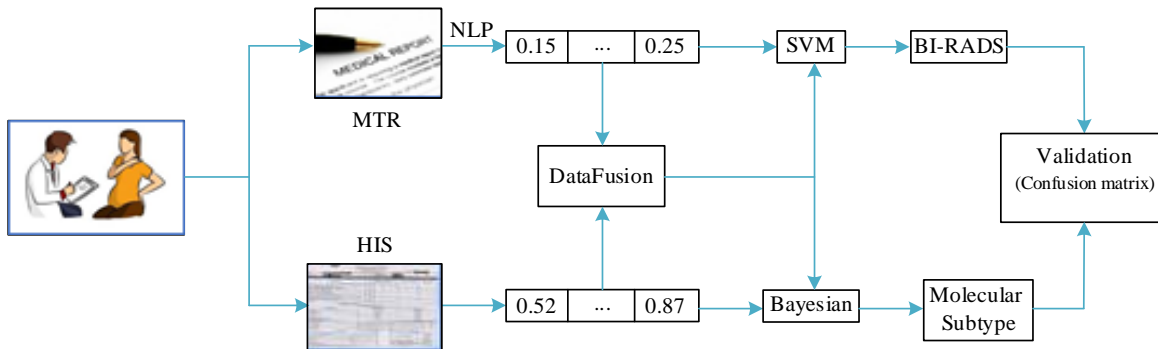
$$u_{ij} = \frac{1}{\sum_{k=1}^C \left(\|x_i - c_j\| \right)^{m-1}} \quad \text{رابطه ۳}$$

$$c_j = \frac{\sum_{i=1}^n u_{ij}^m \cdot x_i}{\sum_{i=1}^n u_{ij}^m} \quad \text{رابطه ۴}$$

معیارهای اصلی بدین شرح بود: ۱) تنها افرادی که سرطان پستان داشتند خوشبندی شدند؛ ۲) بر اساس نتایج هیستوشیمیایی اینمی پس از عمل جراحی یا بیوبسی مطابق با سیزدهمین کنفرانس بین‌المللی سرطان پستان سنت گالن سال ۲۰۱۳، هر یک از خوشه‌ها با یکی از

جدول ۳- انواع زیرگروه‌های مولکولی و ایمونوفوتیپ (۲۹)

زیرگروه مولکولی	ایمونوفوتیپ
Luminal A	ER+and/or PR+, HER2-, CK5/6±, and Ki67 < 14%
Luminal B	ER+and/or PR+, CK5/6±, HER2+, or Ki67 ≥ 14%; or PR < 20%
HER2	ER-, PR-, HER2+, CK5/6±
BLBC	ER-, PR-, HER2- (triple negative), CK5/6+, and/or EGFR+



شکل ۳- فرآیند روش پیشنهادی

جدول ۴- ماتریس درهم رختگی (۳۳)

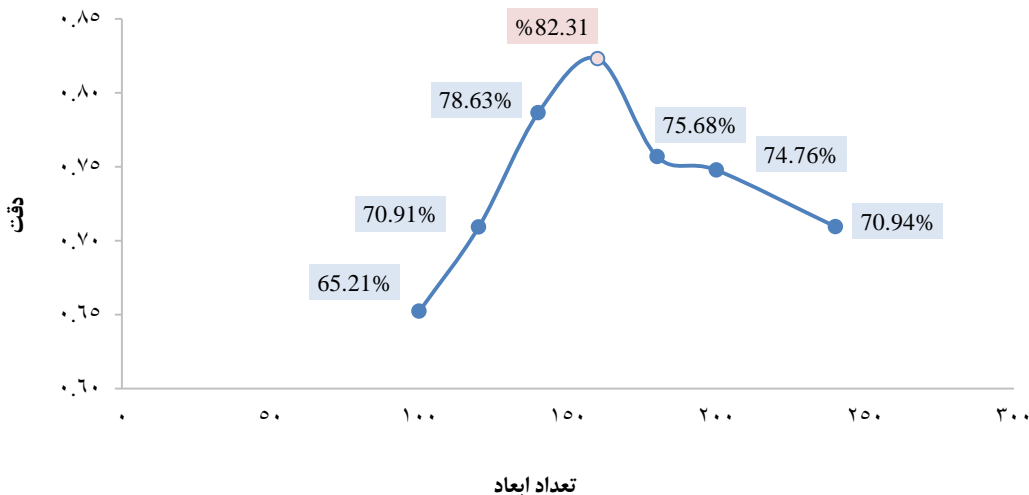
مقدار اصلی/واقعی	ثبت صحیح (TP11)	ثبت کاذب (FPj1)	منفی صحیح (TNji)	منفی کاذب (FNj1)
مقدار پیش‌بینی شده	کلاس ۱ که به درستی کلاس ۱ تشخیص داده شده است	کلاس ۰ که به اشتباه کلاس ۱ تشخیص داده شده است	کلاس ۰ که به اشتباه کلاس ۰ تشخیص داده شده‌اند	منفی کاذب (FNj1)
				کلاس ۰ که به درستی کلاس ۰ تشخیص داده شده‌اند

جدول ۵- مقایسه مقادیر شاخص‌های ارزیابی (مقادیر BI-RADS)

Confusion Matrix	ID Class	Sensitivity(%)	Specificity(%)	PPV(%)	NPV(%)	F1 Measure(%)	Accuracy(%)
۷۵ ۹ ۲ ۳ ۹ ۳ .	Class ₁	۷۰/۷۵	۹۷/۳۴	۷۴/۲۶	۹۶/۸۴	۷۲/۴۶	
۵ ۳۴۰ ۱۰ ۵ ۵ ۲ ۹	Class ₂	۹۴/۱۸	۹۵/۰۱	۹۰/۰۳	۹۷/۰۳	۹۲/۲۷	
۴ ۵ ۳۰۰ ۳ ۶ ۸ ۷	Class ₃	۹۲/۰۲	۹۵/۶۵	۹۰/۰۹	۹۶/۵۴	۹۱/۰۵	
۲ . . ۴۰ . . ۱	Class ₄	۶۳/۴۹	۹۹/۷۰	۹۳/۰۲	۹۷/۷۲	۷۵/۴۷	۸۵/۴۲
۸ ۴ ۳ ۲ ۱۳۰ ۲ ۲	Class ₅	۸۲/۲۸	۹۷/۷۱	۸۶/۰۹	۹۶/۹۷	۸۴/۱۴	
۳ ۱ ۵ ۳ ۵ ۶۰ ۵	Class ₆	۷۳/۱۷	۹۷/۷۷	۷۳/۱۷	۹۷/۷۷	۷۳/۱۷	
۹ ۲ ۶ ۷ ۳ ۷ ۸۰	Class ₇	۷۶/۹۲	۹۶/۵۳	۷۰/۱۸	۹۷/۵۲	۷۳/۳۹	

جدول ۶- مقایسه مقادیر شاخص‌های ارزیابی (مقادیر زیرگروه مولکولی)

Confusion Matrix	ID Class	Sensitivity	Specificity	PPV	NPV	F1 Measure	Accuracy
۲۴۰ ۲۰ ۲۵ ۱۶	Class ₁	%۸۳/۰۲	%۸۲/۵۶	%۷۸/۲۹	%۸۷/۲۲	%۸۰/۵۹	
۱۵ ۱۴۰ ۱۹ ۱۶	Class ₂	%۷۴/۸۷	%۸۸۵/۶۴	%۷۳/۶۸	%۸۹/۳۴	%۷۴/۲۷	
۱۹ ۱۵ ۸۰ ۱۸	Class ₃	%۵۶/۷۴	%۸۹/۶۴	%۶۰/۶۱	%۸۸/۰۶	%۵۸/۶۱	%۷۲/۳۱
۱۱ ۱۲ ۱۷ ۹۰	Class ₄	%۶۴/۲۹	%۹۱/۶۷	%۶۹/۲۳	%۸۹/۸۰	%۶۶/۶۷	



شکل ۴- تغییرات میزان دقت با تغییر ابعاد در بردار حاصل از word2vec در فاز پنجم نتایج BI-RADS و زیرگروههای مولکولی تشخیص داده شده توسط شاخصهای ارزیابی اعتبارسنجی می‌شود. براساس شکل ۳، با فرض مراجعه فرد به سیستم درمان، درابتدا براساس متون پژوهشی (MTR: Medical Text Report) که در این کار گزارش‌های ماموگرافی است و همچنین سوابق پرونده الکترونیک بیمار از HIS، مقادیر BI-RADS و زیرگروههای مولکولی، بهترتبی با استفاده از SVM و بیزین ساده تخمین‌زده شده و خروجی اعتبارسنجی می‌گردد.

برای پیاده‌سازی این طرح، از رایانه با مشخصات زیر استفاده شد.

Processor:	Intel Skylake Core i7-6700 K
Installed memory (RAM):	4*8 GB DDR RAM
VGA:	GTX 1080
HDD:	256GB SSD +1TB SATA
سيستم عامل	Windows 10 بود و برای مدلسازی برنامه از Python 3.7 در محیط Spyder استفاده شد.

بنابر جدول ۵، ماتریس درهم‌ریختگی (matrix Confusion) از معیارهای ارزیابی کلاسه‌بندها و یک ماتریس مربعی N در N است؛ که N بیانگر تعداد کلاس‌های است. قطر اصلی تعداد تشخیص‌های درست و سایر آرایه‌ها تشخیص‌های اشتباه را نشان می‌دهد. از آنجایی که در اینجا برای BI-RADS، هفت کلاس و برای زیرگروههای مولکولی، چهار کلاس داریم بنابراین برای هر کلاس به‌طور مجزا شاخصهای ارزیابی بهدست آمد.

با استفاده از این ماتریس، شاخصهایی همچون Sensitivity، Specificity، Accuracy، F1، PPV، NPV و F0 بهدست می‌آید (۳۳ و ۳۴).

شکل ۴ میزان دقت برای ماشین بردار پشتیبانی جهت تشخیص BI-RADS و صرفاً با استفاده از متن کاوی را نشان می‌دهد. می‌بینیم که با افزایش ابعاد در بردار حاصل از متن، دقت کلاسه‌بندی افزایش یافته و این مقدار در ابعاد بالاتر از ۱۶۰ سیر نزولی دارد. در بسیاری از بررسی‌ها (۳۵) نیز با افزایش ابعاد، کیفیت word2vec و متعاقباً دقت کاهش یافته که این مسئله با کاهش و افزایش ابعاد نیز بررسی شد. نهایتاً از آنجا که بیشینه دقت در ابعاد ۱۶۰ و برابر با ۸۲.۳۱٪ بهدست آمد لذا این مقدار به عنوان ابعاد پایه برای سایر پردازش‌ها مورد استفاده قرار گرفت.

جدول ۶ بهترتبی میزان حساسیت (Sensitivity)، خاصیت Specificity (Specifity)، ارزش اخباری مثبت (PPV)، ارزش اخباری منفی (NPV)، F1 و دقت را برای کلاسه‌بندی BI-RADS (NPV) و به همین شکل جدول ۷ همین مقادیر را برای زیرگروههای مولکولی نشان می‌دهند. در جدول ۶ کلاس‌های سه‌الی هفت نشان‌دهنده مقادیر متناظر در BI-RADS دو‌الی شش است. بیشتر کلاس‌های بیماری با دقت بالای ۷۰٪ تشخیص داده شد. پیگیری بیماری متناظر با BI-RADS=2 و BI-RADS=5 بیشترین میزان حساسیت بهترتبی برابر با ۹۲/۰٪ و ۸۲/۲۸٪ را دارند و کمترین میزان، کلاس چهارم (۶۳/۴۹٪) است که می‌تواند به‌دلیل تعداد کم این نمونه‌ها در مجموعه‌داده باشد. بیشترین میزان حساسیت برای زیرگروههای مولکولی (جدول ۷) مربوط به کلاس یک (۸۳/۰٪) و کمترین آن مربوط به کلاس سوم (۵۶/۷۴٪) است.

مقدار خاصیت برای افراد سالم در جدول ۶ برابر ۹۵/۰٪ است که نشان از عملکرد بالای تشخیص افراد سالم دارد. به‌طور کلی بهازای هر

دحث

کالج رادیولوژی آمریکا برای یکسان‌سازی گزارش‌های ماموگرافی استانداردی بنام BI-RADS را ارایه نمود. این سیستم سبب همگون‌سازی گزارش‌ها شد و نقشی اصلی در پیشبرد برنامه‌ریزی درمانی استاندارد ایفا کرد، چراکه می‌توان از آن برای اولویت‌بندی دقیق پیشبرد درمان استفاده نمود. اما این رویکرد معایبی همچون تفاوت نظر بین پزشکان برای نتیجه‌گیری مقدار BI-RADS داشت. از این‌رو در این مقاله پیشنهاد شد تا از اطلاعات سوابق پرونده‌کترونیک افراد نیز استفاده شود. بنابراین رویکردی ترکیبی از داده‌های بدون ساختار (گزارش‌های ماموگرافی) و داده‌های ساختاریافته (پرونده سوابق کترونیک از HIS) استفاده شده است. بدین‌شكل که پس از پیش Word2vec پردازش و پردازش متون، کلمات کلیدی با استفاده از تبدیل به بردار شدنده که در هر متن میانگین بردارهای کلمات کلیدی، نشان‌دهنده آن متن بودند. برای هر متن یک بردار ۱۶۰ بعدی (۱۶۰ ویژگی) به دست آمد. سپس ۱۸ ویژگی از پرونده کترونیک بیماران ایمنی می‌باشند که در کنار بردار مستخرج از گزارش ماموگرافی، قرار گرفتند و به انضمام ۱۶۰ ویژگی مربوطه گزارش‌های ماموگرافی، در مجموع ۱۷۸ ویژگی برای کلاس‌بندی مورد استفاده قرار گرفت. همچنین از ماشین‌بردار پشتیبان برای تعیین کلاس‌های BI-RADS و از بیزین ساده برای تعیین کلاس زیرگروههای مولکولی استفاده شد. نتایج در قالب شاخص‌های ارزیابی مختلف همچون حساسیت، خاصیت، ارزش اخباری مثبت، ارزش اخباری منفی، مقدار F1 و دقت مورد ارزیابی قرار گرفت. نتایج بیشینه شاخص‌های ارزیابی برای تخمین BI-RADS به ترتیب ۱۸٪، ۹۴٪/۷۰٪، ۹۳٪/۰۲٪ و ۹۷٪/۷۷٪ و نتایج کمینه شاخص‌های ارزیابی به ترتیب ۴۹٪/۴۹٪، ۹۲٪/۲۷٪ و ۹۵٪/۰۱٪، ۹۰٪/۱۸٪ و ۹۵٪/۵۴٪ و ۹۶٪/۴۶٪ و ۷۲٪/۴۶٪ می‌باشد. این نتایج، برای برای تخمین زیرگروههای مولکولی در حالت بیشینه به ترتیب ۶۷٪/۹۱٪، ۷۸٪/۲۹٪ و ۸۰٪/۵۹٪ و در حالت کمینه به ترتیب ۷۴٪/۵۶٪، ۸۳٪/۵۶٪ و ۸۷٪/۳۲٪ و ۸۰٪/۶۱٪ و ۵۸٪/۶۱٪ می‌باشد. دقت تشخیص مقادیر BI-RADS برابر ۸۵٪/۴۲٪ و در زیرگروههای مولکولی ۳۱٪/۷۲٪ می‌باشد. روش پیشنهادی برای تبدیل متن به بردار RADS و همچنین تشخیص زیرگروههای مولکولی بر اساس گزارش‌های ماموگرافی متن پزشکی و ویژگی‌های HIS، می‌تواند پزشک را برای تصمیم‌گیری بهتر کمک می‌کند. این رویکرد نسبت به کارهای مشابه، سبب بهبود تشخیص وجود یا عدم وجود بیماری،

کلاس BI-RADS مقدار خاصیت بیش از ۹۵٪ است و بیشینه آن مربوط به کلاس چهارم (۰/۹۹٪) است. بیشترین مقدار خاصیت در زیرگروه‌های مولکولی (جدول ۷) مربوط به کلاس یک (۰/۸۳٪) و کمترین آن مربوط به کلاس سوم (۰/۵۶٪) است. مقادیر نشان می‌دهد عملکرد روش پیشنهادی از نظر مقادیر خاصیت مناسب است.

مقدار PPV در جدول ۶ برای افراد سالم برابر $۹۰/۴۳\%$ است که نشان از عملکرد خوب روش پیشنهادی دارد و برای سایر کلاس‌ها نیز مناسب و کمینه آن $۷۰/۱۸\%$ (کلاس هفت) است. این مقدار در جدول ۷ و برای تشخیص زیرگروه‌های مولکولی برای تمام کلاس‌ها بین $۶۰/۶۰\%$ (کمینه در کلاس سوم) و $۷۸/۲۹\%$ (بیشینه در کلاس اول) است. که نشان از تشخیص مناسب هر کلاس دارد.

مقدار NPV در جدول ۶ برای افراد سالم برابر $97/0\%$ است که نشان از عملکرد خوب روش پیشنهادی دارد و برای سایر کلاس‌ها نیز مناسب و کمینه آن $96/5\%$ (کلاس سوم) است. کمینه این مقدار برای تشخیص زیرگروه‌های مولکولی در جدول ۷، برابر $87/3\%$ (کلاس اول) و بیشینه آن، $89/8\%$ (کلاس چهارم) می‌باشد.

میانگین هارمونیک (F1) (harmonic) مربوط به نتایج BI-RADS و زیرگروه مولکولی به ترتیب در جداول ۶ و ۷ آمده است. بیشینه F1 برای تشخیص BI-RADS برابر $92/27$ ٪ (کلاس دوم) و کمینه آن برابر $46/72$ ٪ (کلاس اول) است که نشان از تشخیص مناسب روش پیشنهادی دارد. از طرفی بیشینه F1 برای تشخیص زیرگروههای مولکولی، $59/80$ ٪ (کلاس اول) و کمینه آن $58/61$ ٪ (کلاس سوم) می‌باشد.

میزان دقت (Accuracy) یا توانایی آزمون، در افتراق صحیح موارد بیمار و سالم، در کلاسه‌بندی BI-RADS و زیرگروه‌های مولکولی به ترتیب مقادیر $85/42\%$ و $77/31\%$ می‌باشد. از طرفی مقایسه دقت کلاسه‌بندی BI-RADS با استفاده از متون پزشکی، نسبت به زمانی که از HIS استفاده نشده (شکل ۴)، نشان‌دهنده تأثیر HIS در افزایش این

درنتیجه با کنارهم قراردادن شاخص‌های ارزیابی مشخص می‌شود، BI-RADS که روش پیشنهادی در تشخیص کلاس‌های زیرگروه‌های مولکولی و نهایتاً کمک به تشخیص تعیین روال بیماری عملکرد خوبی داشته است. ازانجایی که در اینجا روشنی جدید برای پردازش متن ارایه شده است و همچنین از مقادیر HIS در کنار نتایج پردازش متن استفاده می‌شود، لذا عملکرد روش پیشنهادی نسبت به کارهای مشابه از نظر تشخیص BI-RADS و زیرگروه‌های مولکولی بهبود یافته است.

12. Sim LLW, Ban KHK, Tan TW, Sethi SK, Loh TP. Development of a clinical decision support system for diabetes care: A pilot study. *PloS one* 2017;12:e0173021. doi:10.1371/journal.pone.0173021
13. Park J, Rho MJ, Moon HW, Park YH, Kim C-S, Jeon SS, et al. Prostate cancer trajectory-map: clinical decision support system for prognosis management of radical prostatectomy. *Prostate International* 2020. doi:10.1016/j.prinl.2020.06.003
14. Esmaeili M, Ayyoubzadeh SM, Ahmadinejad N, Ghazisaeedi M, Nahvijou A, Maghooli K. A decision support system for mammography reports interpretation. *Health Information Science and Systems* 2020;8:1-8. doi:10.1007/s13755-020-00109-5
15. Gossman W, Shikhman R, Keppke AL. Breast, Imaging, Reporting and Data System (BI-RADS). *StatPearls* [Internet]: StatPearls Publishing; 2019.
16. Farrokh D, Alamdaran SA, Feizy A, Soleimany H. Diagnostic value of BI-RADS method using sonography in evaluating the level of malignancy of breast masses compared with biopsy. *The Iranian Journal of Obstetrics, Gynecology and Infertility* 2019;22:1-6. doi:10.22038/ijogi.2019.13738
17. Vanderheyden B, Xie Y. Mammography Image BI-RADS Classification Using OHPLAll. 2020.
18. Castro SM, Tseytlin E, Medvedeva O, Mitchell K, Visweswaran S, Bekhuis T, et al. Automated annotation and classification of BI-RADS assessment from radiology reports. *Journal of biomedical informatics* 2017;69:177-87. doi: 10.1016/j.jbi.2017.04.011
19. Gao H, Bowles EJA, Carrell D, Buist DS. Using natural language processing to extract mammographic findings. *Journal of biomedical informatics* 2015;54:77-84. doi:10.1016/j.jbi.2015.01.010
20. Gupta A, Banerjee I, Rubin DL. Automatic information extraction from unstructured mammography reports using distributed semantics. *Journal of biomedical informatics* 2018;78:78-86. doi:10.1016/j.jbi.2017.12.016
21. Nassif H, Cunha F, Moreira IC, Cruz-Correia R, Sousa E, Page D, et al., editors. Extracting BI-RADS features from Portuguese clinical texts. 2012 IEEE International Conference on Bioinformatics and Biomedicine; 2012: IEEE.
22. Percha B, Nassif H, Lipson J, Burnside E, Rubin D. Automatic classification of mammography reports by BI-RADS breast tissue composition class. *Journal of the American Medical Informatics Association* 2012;19:913-6. doi: 10.1136/amiajnl-2011-000607
23. Sippo DA, Warden GI, Andriole KP, Lacson R, Ikuta I, Birdwell RL, et al. Automated extraction of BI-RADS final assessment categories from radiology reports with natural language processing. *Journal of Digital Imaging* 2013;26:989-94. doi: 10.1007/s10278-013-9616-5
24. Zhang X, Zhang Y, Zhang Q, Ren Y, Qiu T, Ma J, et al. Extracting comprehensive clinical information for breast cancer using deep learning methods. *International Journal of Medical Informatics* 2019;132:103985. doi: 10.1016/j.ijmedinf.2019.103985
25. Bozkurt S, Gimenez F, Burnsides ES, Gulkesen KH, Rubin DL. Using automatically extracted information from mammography reports for decision-support. *Journal of Biomedical Informatics* 2016;62:224-31.
26. Guo D, Wang Q, Liang M, Liu W, Nie J. Molecular cavity topological representation for pattern analysis: A NLP analogy-based word2vec method. *International Journal of Molecular Sciences* 2019;20:6019. doi: 10.3390/ijms20236019
27. Loper E, Bird S. NLTK: the natural language toolkit. arXiv preprint cs/0205028 2002.
28. Banerjee I, Bozkurt S, Alkim E, Sagreya H, Kurian AW, Rubin DL. Automatic inference of BI-RADS final assessment categories from narrative mammography report findings. *Journal of Biomedical Informatics* 2019;92:103137. doi: 10.1016/j.jbi.2019.103137

همچنین تعیین سطح بیماری شده است؛ لذا پزشک می‌تواند روال درمانی فرد را با دقت بیشتری تعیین کند. در این کار، از تلفیق داده برای بهبود دقت استفاده شد. پیشنهاد می‌شود در تحقیقات بعدی از ترکیب شواهد برای افزایش کارآیی سیستم استفاده شود. همچنین از آنجا که تصاویر ماموگرافی اطلاعات مفیدی در اختیار پزشک قرار می‌دهند، پیشنهاد دیگر استفاده از تکنیک‌های تلفیق تصمیم و یادگیری عمیق، در تخمین دقیق تر سطح بیماری و زیرگروه‌های مولکولی است تا در تصمیم‌سازی دقیق‌تر روال درمان کمک بیشتری به پزشکان نمود.

تشکر و قدردانی

مقاله حاضر بخشی از رساله دکترای نویسنده اول، مصوب با کد ۱۶۳۴۸۲۲۹۷۵۱۷۰۵۱۱۳۹۸۷۱۷۱۱ پایان‌نامه دانشگاه آزاد اسلامی واحد شیراز می‌باشد و نویسنندگان از تمامی حمایت‌های آن مجموعه تشکر و قدردانی می‌نمایند.

References

1. Balakumar P, Maung-U K, Jagadeesh G. Prevalence and prevention of cardiovascular disease and diabetes mellitus. *Pharmacological research* 2016;113:600-9. doi: 10.1016/j.phrs.2016.09.040
2. Institute for research education and treatment of cancer (n.d.). Available from: <http://ncii.ir/about-us>.
3. Bray F, Ferlay J, Soerjomataram I, Siegel RL, Torre LA, Jemal A. Global cancer statistics 2018: GLOBOCAN estimates of incidence and mortality worldwide for 36 cancers in 185 countries. *CA: a cancer journal for clinicians* 2018;68:394-424. doi: 10.3322/caac.21609
4. Centers for disease control and prevention. cancer. bearst. cancer statistics data visualizations tool 2017. Available from: <https://gis.cdc.gov/Cancer/USCS/DataViz.html>.
5. Isfahani P, Hossieni Zare SM, Shamsaii M. The prevalence of depression in iranian women with breast cancer: a meta-analysis. *Quarterly of Horizon of Medical Sciences* 2020;26:170-81. doi: 10.32598/hms.26.2.3207.1
6. Tabarestani S, Noori-Daloii mr. Molecular genetics, diagnosis and treatment of breast cancer: review article. *Journal of Sabzevar University of Medical Sciences* 2010;17:74-87.
7. Dehghan P, Mogharabi M, Zabbah I, Layeghi K, Maroosi A. Modeling Breast cancer using data mining methods. *Journal of Health and Biomedical Informatics* 2018;4:266-78.
8. Ginsburg O, Yip CH, Brooks A, Cabanes A, Caleffi M, Dunstan Yataco JA, et al. Breast cancer early detection: a phased approach to implementation. *Cancer* 2020;126:2379-93. doi:10.1002/cncr.32887
9. Sadeghi S, Golabpour A. An Algorithm for Predicting Recurrence of Breast Cancer Using Genetic Algorithm and Nearest Neighbor Algorithm. *Journal of Health and Biomedical Informatics* 2020;6:309-19.
10. Alaa AM, Moon KH, Hsu W, Van Der Schaar M. Confidentcare: A clinical decision support system for personalized breast cancer screening. *IEEE Transactions on Multimedia* 2016;18:1942-55. doi:10.1109/TMM.2016.2589160
11. Mazo C, Kearns C, Mooney C, Gallagher WM. Clinical Decision Support Systems in Breast Cancer: A Systematic Review. *Cancers* 2020;12:369. doi:10.3390/cancers12020369

29. Kao K-J, Chang K-M, Hsu H-C, Huang AT. Correlation of microarray-based breast cancer molecular subtypes and clinical outcomes: implications for treatment optimization. *BMC Cancer* 2011;11:143. doi: [10.1186/1471-2407-11-143](https://doi.org/10.1186/1471-2407-11-143)
30. Chang C-C, Lin C-J. LIBSVM: A library for support vector machines. *ACM transactions on intelligent systems and technology (TIST)* 2011;2:1-27. doi: [10.1145/1961189.1961199](https://doi.org/10.1145/1961189.1961199)
31. Hafemeister C, Satija R. Normalization and variance stabilization of single-cell RNA-seq data using regularized negative binomial regression. *Genome biology* 2019;20:1-15. doi: [10.1186/s13059-019-1874-1](https://doi.org/10.1186/s13059-019-1874-1)
32. Sen PC, Hajra M, Ghosh M. Supervised classification algorithms in machine learning: A survey and review. *Emerging Technology in Modelling and Graphics*: Springer; 2020. p. 99-111.
33. Tharwat A. Classification assessment methods. *Applied Computing and Informatics* 2020. doi: [10.1016/j.aci.2018.08.003](https://doi.org/10.1016/j.aci.2018.08.003)
34. Shahabi M, Hassanpour H. Using the artificial intelligence techniques for diagnosing of intensity of non-alcoholic fatty liver disease by clinical parameters. *Journal of Knowledge & Health* 2016;11:69-75. doi: [10.22100/jkh.v11i3.1369](https://doi.org/10.22100/jkh.v11i3.1369)
35. Li B, Drozd A, Guo Y, Liu T, Matsuoka S, Du X. Scaling word2vec on big corpus. *Data Science and Engineering* 2019;4:157-75. doi: [10.1007/s41019-019-0096-6](https://doi.org/10.1007/s41019-019-0096-6)



Proposing a Clinical Decision Support System for Breast Cancer Diagnosis

Mostafa Boroumandzadeh (Ph.D. Student)¹, Elham Parvinnia (Ph.D.)^{1*}

1- Dept. of Computer Engineering, Shiraz Branch, Islamic Azad University, Shiraz, Iran.

Received: 5 October 2020, **Accepted:** 7 December 2020

Abstract:

Introduction: Breast cancer is one of the leading causes of death in women. Therefore, the accuracy and speed of diagnosis are crucial in the treatment procedure. In this regard, the BI-RADS classification system has been used for the standardization of mammography reports. However, there is much disagreement among physicians about the BI-RADS values. The aim of this paper is to diagnose BI-RADS by natural language processing of mammography reports and clinical information from the electronic health records and combining them to identify molecular subtypes and help patient follow-up.

Methods: In this study, 1200 mammography reports and electronic health records obtained from Namazi Educational and Medical Center for years between 2015-2017. After text processing, the vector with 160 features was obtained, then 18 features were extracted by referring to the electronic health records. Finally, 178 features were used by SVM and naïve Bayesian to predict BI-RADS and molecular subtypes, respectively.

Results: The values of Accuracy, Positive Prediction Value, Negative Prediction Value, Sensitivity, and Specificity were calculated to evaluate the results. Accuracy was 85.42% for BI-RADS and 72.31% for molecular subtypes.

Conclusion: The proposed decision support system was an appropriate model to help the physician to diagnose breast cancer and categorize patients. It was also found that the combined information, including electronic medical records of patients and designated molecular subtypes along with mammography reports, can be useful in diagnosing the disease and defining the treatment follow-up.

Keywords: Decision support system, Molecular subtypes, Clinical information, Breast cancer.

Conflict of Interest: No

*Corresponding author: E. Parvinnia, Email: parvinnia@iaushiraz.ac.ir

Citation: Boroumandzadeh M, Parvinnia E. Proposing a clinical decision support system for breast cancer diagnosis. Journal of Knowledge & Health in Basic Medical Sciences 2020;15(3):54-66.